# Доклады Академии наук СССР 1972. Том 20**7, №** 1

УДК 541.15+537.56

# ФИЗИЧЕСКАЯ ХИМИЯ

### Н. А. КУЛАЖЕНКОВА, И. К. ЛАРИН, член-корреспондент АН СССР В. Л. ТАЛЬРОЗЕ

# РАДИОЛИТИЧЕСКИЙ ДЕЙТЕРО-ВОДОРОДНЫЙ ОБМЕН — САМЫЙ БЫСТРЫЙ ИОННЫЙ ЦЕПНОЙ ПРОЦЕСС

Цепной ионный характер газофазного дейтеро-водородного обмена в условиях радиолиза был впервые установлен в работах Шеффера и Томсона  $(^1,^2)$ , которые предположили, что обмен обусловлен реакциями трехатомных понов типа  $\mathbf{H}_3^+$ :

$$H_2D^+ + D_2 \xrightarrow{k_p} HD_2^+ + HD.$$
 (1)

Полученный выход составлял 1,4·10<sup>4</sup> молекул HD на пару ионов при давлении эквимолярной смеси 100 тор и температуре 300° К. Было также установлено, что небольшие добавки Kr и Xe резко уменьшают скорость обмена. Вольпи с сотрудниками (³) измерили константу скорости реакции  $H_3^+ + Xe \rightarrow XeH^+ + H_2$  и, используя данные (¹,²) по ингибированию обмена добавками Xe, нашли, что  $k_p = 8 \cdot 10^{-13}$  см³/сек. Даусон и Тикнер (⁴), изучая дейтеро-водородный обмен в условиях тлеющего разряда, получили для  $k_p$  значение 3,5·10<sup>-10</sup> см³/сек.

Авторы настоящей работы, исследуя влияние постоянного электрического поля на скорость обмена, инициируемого быстрыми электронами, нашли, что  $k_{\rm p} = 1.3 \cdot 10^{-9} \; {\rm cm}^3/{\rm cek}$  (5) (правда, с точностью, не превышающей коэффициента 1.5—2).

Таким образом, хотя принципиальный механизм радиолитического дейтеро-водородного обмена был установлен, реального представления о скорости процесса не было, так как величины констант, полученных в разных работах, отличались на три порядка.

В связи с этим нами были поставлены новые эксперименты по исследованию этого процесса методом электрического поля, позволившие более тщательно определить величину  $k_p$ . Влияние электрического поля на скорость ионного цепного процесса связано с тем, что при определенных условиях время жизни понов определяется временем дрейфа понов к электродам  $\tau_E$ . В этом случае длина цепи (или, что то же, выход молекулы HD на пару ионов) в поле

 $(M/N)_E = \tau_E/\tau_i, \tag{2}$ 

где  $\tau_i = 1/(k_p([H_2] + [D_2]))$  — характеристическое время элементарного акта продолжения цепи, в результате которого образуется одна молекула HD. Ранее (5) нами было показано, что величина  $k_p$  определяется из выражения

$$k_{\rm p} = \frac{(M/N)_0}{([{\rm H}_2] + [{\rm D}_2])\,\tau_E\,(\eta - 1)}$$
, (3)

где  $(M/N)_0$  — выход молекул HD на пару понов в отсутствие поля,  $\eta = \frac{(M/N)_0}{(M/N)_E}$  — величина, характеризующая влияние электрического

поля на скорость обмена; те в случае цилиндрической камеры

$$\tau_E = \frac{(r_2^2 - r_1^2) \ln (r_2/r_1)}{4\mu V} \,, \tag{4}$$

где  $r_2$ ,  $r_4$  — внешний и внутренний радиусы камеры; V — напряжение па камере;  $\mu$  — подвижность ионов, ведущих цень. Таким образом, измерение выхода без поля  $(M/N)_0$  и эффекта поля  $\eta$  позволяли определить величину  $k_{\rm D}$ , если известна подвижность ионов  $\mu$ .

Радиолиз осуществлялся в цилиндрической ионизационной камере. Очистка газов осуществлялась путем двухкратного пропускания газов

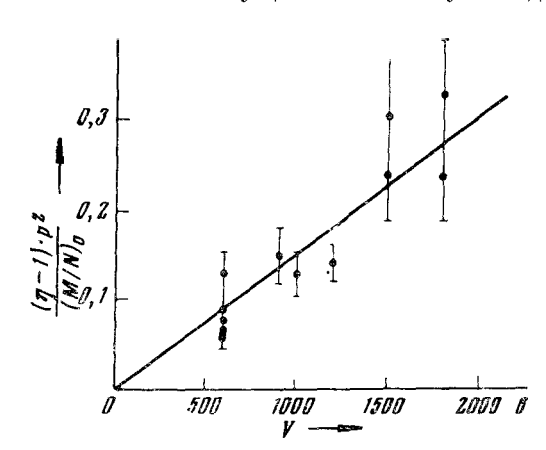


Рис. 1. Влияние электрического поля на скорость дейтеро-водородного обмена (объяснение в тексте)

через ловушку с активированным углем при температуре 77° К. Остаточный вакуум в камере был  $2 \cdot 10^{-6}$  тор. Облучение проводилось на источнике Со<sup>60</sup>. Мощность дозы определялась по току насыщения. Анализ продуктов проводился на массспектрометре типа МХ-1302.

Эксперименты проводились при давлении 190—240 тор, комнатной температуре, эквимолирном составе смеси и заключались в последовательном облучении одной и той же смеси в электрическом поле и без поля с отбором небольшого количества газа для анализа после каждого облучения. Мощность дозы составляла (2—3).

 $\cdot 10^{10}$  эв / см<sup>3</sup> · сек, продолжительность облучения — от 5 до 60 мин. Суммарное количество образовавшегося HD не превышало 15%, что с точностью до ошибки эксперимента соответствовало линейному участку кривой накопления HD с дозой и позволяло определить правильное значение выхода. Полученные результаты представлены в табл. 1. Как следует из этих данных, при  $(M/N)_0 = 1,5 \cdot 10^7$  поле уменьшало скорость обмена в

Таблица 1 Результаты радиолиза эквимолярных дейтеро-водородных смесей в электрическом поле

V, в	$(M/N)_{E=0}$	$(M/N)_{E \neq 0}$	<sup>д</sup> эксп
1000 600 1200 600 1300 900 1800 600 1500 600 600 1500	$\begin{array}{c} (3,5\pm0,3)\cdot10^{6} \\ (1,2\pm0,2)\cdot10^{6} \\ (1,8\pm0,1)\cdot10^{6} \\ (1,8\pm0,1)\cdot10^{6} \\ (1,8\pm0,2)\cdot10^{6} \\ (2,6\pm0,2)\cdot10^{6} \\ (1,3\pm0,1)\cdot10^{6} \\ (1,9\pm0,3)\cdot10^{6} \\ (6,8\pm0,6)\cdot10^{5} \\ (1,5\pm0,2)\cdot10^{7} \\ (1,5\pm0,1)\cdot10^{7} \\ (2,6\pm0,3)\cdot10^{6} \\ (2,8\pm0,3)\cdot10^{6} \\ (2,8\pm0,3)\cdot10^{5} \\ \end{array}$	$(3,8\pm0,6)\cdot10^5\\ (4,1\pm0,7)\cdot10^5\\ (2,8\pm0,4)\cdot10^5\\ (3,0\pm0,4)\cdot10^5\\ (1,9\pm0,3)\cdot10^5\\ (2,6\pm0,4)\cdot10^5\\ (1,4\pm0,2)\cdot10^5\\ (2,9\pm0,4)\cdot10^5\\ (1,5\pm0,3)\cdot10^5\\ (8,1\pm1,1)\cdot10^5\\ (6,2\pm1,4)\cdot10^5\\ (1,9\pm0,4)\cdot10^5\\ (1,9\pm0,4)\cdot10^5$	$ \begin{vmatrix} 9,2+2,2\\2,9+2,2\\6,5+1,3\\6,0\pm1,4\\13,7\pm3,4\\5,0\pm1,1\\13,6\pm3,3\\2,3\pm0,5\\100\pm30\\19,4\pm4\\4,2\pm1,2\\4,7\pm1,4\\15\pm4,5 \end{vmatrix} $

Примечание. V — напряжение на камере,  $(M/N)_{E=0}$  — выход в числе молекул НD на пару ионов, наблюдаемый без наложения электрического поля,  $(M/N)_{E\neq0}$  — выход при наложении электрического поля,  $r=(M/N)_{E=0}/(M/N)_{E\neq0}$ 

100 раз. Видно также, что эффект поля зависит как от приложенного напряжения, так и от величины выхода без поля  $(M/N)_0$  и уменьшается с ростом этих величин в точном соответствии с уравнением (3). На рис. 1

приводятся данные табл. 1, представленные в координатах  $[(\eta-1)p^2/(M/N)_0](V)$ , откуда, как это следует из (3), по тангенсу наклона прямой можно найти  $k_p$ , если известна подвижность ионов-носителей цепи  $\mu$  ( $p^2$  в (3) появляется в связи с тем, что  $\mu$  (p, T) =  $\mu_0 \frac{T \cdot 760 \text{ тор}}{p \cdot 273^\circ \text{ K}}$ , где  $\mu_0$  — подвижность при  $0^\circ$  С и 1 атм.).

Приняв  $\mu_0 = 8.4$  см<sup>2</sup>/в сек ( $^6$ ,  $^7$ ), мы получили для  $k_p$  значение  $1.4 \cdot 10^{-9}$  см<sup>3</sup>/сек, что подтвердило полученную нами ранее большую величину константы скорости ионно-молекулярного акта продолжения цепи.

Помимо описанных измерений были сняты зависимости выхода HD от мощности дозы и давления, которые показали, что при изменении мощности дозы от 2,8 · 10° до 1,4 · 10¹° эв / см³ и давления от 150 до 400 тор выход остается постоянным. Были также выполнены эксперименты с разным составом смеси, в которых не было обнаружено заметного изотопного эффекта.

Полученные результаты, а также сильная зависимость выхода от степени очистки газов указывали на примесный характер обрыва цепи. Это означает, что в реакторе использованных размеров при снижении концентрации примеси до уровня, когда обрыв цепи будет определяться диффузией ионов к стенкам, будет иметь место выход  $(M/N)_0 = 4 \cdot 10^{10}$  молекул HD на пару ионов (p = 760 тор).

Измеренная нами величина  $k_{\rm p}$  и известные в настоящее время литературные данные об ионах водорода позволили в значительной мере разобраться и в механизме продолжения цепи. Так, из данных Запорошенко ( $^6$ ) следовало, что в условиях наших экспериментов доля пятиатомных ионов типа  ${\rm H_5}^+$  составляет более 98%. Отсюда был сделан вывод, что в наших условиях обмен обусловлен реакциями пятиатомных ионов, так как в противном случае (обмен через ноны типа  ${\rm H_3}^+$ ) константа должна была бы иметь величину более  $10^{-7}$  см $^3$ /сек, что не может быть физически оправдано.

Предлагаемая принципиальная схема обмена имеет вид:

$$H_2^+ + H_2 \rightarrow H_3^+ + H;$$
  $H_3^+ + 2H_2 \rightarrow H_5^+ + H$  (зарождение цепи); 
$$H_5^+ + D_2 \xrightarrow[k_{\rm p}]{}^{k_{\rm p}} H_3 D_2^+ + H_2$$
 (продолжение цепи);

 $H_4D^+ + M \rightarrow$  гибель (обрыв цепи).

Рассмотрение полной схемы обмена, включающей 38 процессов, позволило уточнить численный коэффициент в формуле (2) и определить истинное значение  $k_p - (3.0 \pm 3.1) \cdot 10^{-9}$  см³/сек. Поскольку фактически элементарный акт протекает по двум каналам, один из которых приводит к образованию HD, а другой — нет, то для суммарной константы скорости  $k_0$ , равной  $2k_p$ , в предположении отсутствия изотопных эффектов, получим значение  $(6.0 \pm 2.2) \cdot 10^{-9}$  см³/сек.

Сказанное выше, а также многочисленные экспериментальные ( $^{8-10}$ ) и теоретические ( $^{11-13}$ ) работы по исследованию пятиатомных ионов водорода убеждают нас, что при  $T \approx 300^\circ$  K пятиатомная модель обмена является наиболее приемлемой, тогда как при более низких температурах возможно образование более тяжелых кластеров.

В заключение укажем на недавнюю работу Бека и Терао (14), которые также использовали метод электрического поля для измерения величины  $k_p$ , но получили величину на порядок меньше измеренной нами. В настоящее время трудно указать причину этого расхождения, однако представляется существенным использование названными авторами мягкого рентгеновского излучения (20—60 кэв), в отличие от  $\gamma$ -излучения Со<sup>60</sup>, примезявшегося нами. По оценкам, использование квантов с E=20 кэв может

привести к негомогенной пространственной ионизации, в результате чего величина  $\tau_E$  могла быть несколько меньше, чем принимавшаяся Беком и Терао, что адекватно уменьшает вычисляемую константу скорости по сравнению с истинной. Вопрос этот требует дополнительного рассмотрения.

Наконец, следует отметить, что полученное значение  $k_0$  с теоретической точки зрепия является поразительно большим. В связи с этим нами были вычислены максимальные значения по механизму Ланжевена (¹⁵), а также учтено возможное влияние факторов, не учитываемых в теории Ланжевена,— взаимодействие пона с квадруполем и влияние поляризации иона, обусловленной перавномерным распределением плотности электронов в кластере (¹³). В любом случае оказалось, что полученная величина примерно в 4 раза больше максимальной, предсказываемой полным сечением ион-дипольного взаимодействия.

Поскольку погрешность нашего экспериментального определения  $k_0$  на порядок меньше найденного расхождения с теорией, то можно утверждать, что мы сталкиваемся здесь с принципиально новым и непонятным пока механизмом ионпо-молекулярного элементарного акта.

Институт химической физики Академии наук СССР Москва Поступпло 29 V 1972

#### ПИТИРОВАННАЯ ЛИТЕРАТУРА

¹ S. O. Thomson, O. A. Schaeffer, J. Am. Chem. Soc., 80, 553 (1956). ² O. A. Schaeffer, S. O. Thomson, Radiation Res., 10, 671 (1959). ³ V. Aquilentv. A. Gally et al., J. Chem. Phys., 43, 1969 (1965). ⁴ P. H. Dawson, A. W. Tickner, J. Chem. Phys., 45, 4330 (1966). ⁵ И. К. Ларин, В. Л. Тальрозе, Н. А. Кулаженкова, Хим. высоких энергий, 3, 14 (1969). ⁶ М. Saporoshenko, Phys. Rev., 139, А349 (1965). ⁶ D. J. Rose, J. Appl. Phys., 31, 643 (1960). ⁶ M. Saporoshenko, Phys. Rev., 139, А349 (1965). ⁶ D. J. Rose, J. Appl. Phys., 31, 643 (1960). ⁶ M. Saporoshenko, Phys., 42, 2760 (1965). ⁶ P. H. Dawson, A. W. Tickner. J. Chem. Phys., 37, 672 (1962). ¹ O. B. Стародубцев, В. М. Кнопов и др., ДАН, 163, 155 (1965). ¹¹ И. Г. Каплан, О. Б. Родимова, Теоретич. и экси. хим., 6, в. 4, 455 (1970). ¹² И. Г. Каплан, О. Б. Родимова, там же, 6, в. 4, 442 (1970). ¹³ R. D. Рознизта, F. А. Матson, J. Chem. Phys., 47, 4795 (1967). ¹⁴ R. A. Back, T. Terao, J. Chem. Phys., 73, 3885 (1969). ¹⁵ P. Langevin, Ann. Chim. et Phys., 5, 245 (1905).